



شانزدهمین سمینار ملی مهندسی سطح

بهمن ماه ۱۳۹۴

ستز ساختارهای نانو پلی پیروول و کامپوزیت آن با نانو لوله کربنی

واکسیداسیون الکترو کاتالیستی آسکوربیک اسید

شهرام باقری^۱، محمد حسینی، عمران گرمی ذرندی، حمیدرضا تفرشی

^۱ شرکت پشتیانی و نوسازی بالگردهای ایران - پنهان (پژوهشگر توسعه فناوری مهندسی سطح)

چکیده :

در تحقیق حاضر ، نانوالیاف پلی پیروول به روش های نرمال پالس ولتامتری (NPV) و ولتامتری چرخه ای (CV) در محدوده پتانسیل ۰.۰ تا ۰.۸ ولت در الکترولیت بافر فسفات با $\text{PH}=7.۴$ و با حضور لیتیم پر کلرات روی الکترود گرافیت با ابعاد $2\text{ cm} \times 0.۵\text{ cm}$ ستز شد . الکترود رفرنس به کار رفته Ag/AgCl و الکترود مقابل

یک سیم پلاتینی می باشد . فعالیت الکتریکی نانوالیاف سنتز شده با تغییر پارامترهای موجود در تکنیک نرمال بالس ولتاومتری همچون اثر افزایش پتانسیل و اثر پهنهای بالس و همچنین غلظت مونومر مورد بررسی قرار گرفت . به مظلور شناسایی نانوالیاف سنتز شده تست های SEM و C.A و CV انجام شد . تصاویر SEM پلیمر سنتز شده با NPV ، نانوالیافی با قطر کمتر از ۱۰۰ نانومتر را نشان می دهند . از نمودارهای های CV ، جریان پیک آندی برای پلیمرهای سنتز شده تحت شرایط خاص بدست آمده و نمودار آن بر حسب تغییر پارامترها رسم شده است و همچنین با فیت کردن منحنی های امپدانس توسط نرم افزار Zviwe مقاومت انتقال بار برای هر پلیمر بدست آمد و منحنی های تغییر مقاومت انتقال بار بر حسب تغییر پارامترها رسم شده است .

۱-۱- تهیه شیمیایی پلی پیروول :

پلی پیروول و تعداد زیادی از مشتقات آن، بوسیله روشهای شیمیایی و الکتروشیمیایی ساده تهیه می شوند . [۲-۱] . پلیمریزاسیون شیمیایی فرآیندهایی ساده و سریع است که به ابزارهای خاصی نیاز ندارد . پلی پیروول توده ای می تواند بصورت پودر ریز با استفاده از پلیمریزاسیون اکسیدی از مونومر بوسیله اکسیدان شیمیایی در حلالهای آبی و غیر آبی و یا بوسیله رسوب بخار شیمیایی بدست آید . هر چند استفاده از پلیمریزاسیون شیمیایی به علت اینکه یک تعداد محدود از یونهای مقابل (Counterion) را می توان به کار برد روش محدودی است . کلرید آهن III به عنوان بهترین اکسیدان شیمیایی کشف شده است و آب هم بهترین حال برای پلیمریزاسیون شیمیایی می باشد [۳] . روی هم رفته نتایج استوکیومتری از پلیمریزاسیون شیمیایی پلی پیروول با اکسیدان فریک کلرید در شکل زیر نشان داده شده است .

۱-۲- تهیه الکتروشیمیایی پلی پیروول:

مطابق شکل می باشد .

۱-۳- فاکتورهای مؤثر بر خواص پلی پیروول :

۱-۳-۱- تأثیر نوع الکترود :

فیلم های پلی پیروول می توانند روی رنج وسیعی از الکترودهای فلزی، گلاسی کربن، پلاتین، طلا، الکتروپلیمریزه شود. هر چند (ITO)^۱، تیتانیم، آلومینیم، فولاد نرم و نقره هم استفاده شده است. [۴]. در مقایسه با الکترود **Pt** ، وقتی از **Ti** ، **Fe** یا **Al** استفاده می شود، پتانسیل اکسیداسیون پیروول افزایش و دانستیه جریان کاهش می یابد. فلزاتی مانند نقره یا آلومینیم که راحت تر از مونوپیروول اکسید می شوند، واضح است که انتخاب مناسبی نیستند و در نهایت خواص فیلم های تولید شده و همچنین جزئیات مکانیسم تشکیل آنها، تابعی از شرایط استفاده شده برای ستر مثل پتانسیل بار ، **PH** و آئیون می باشد .

۴-۱- هدایت الکتریکی در پلی پیروول :

هدایت الکتریکی پلیمر هادی پلی پیروول یکی از مهمترین خواص برای کاربردهای آنالیتیکی می باشد. پلی پیروول پلیمر هادی است که یک باند هدایت غیر همتراز در حالت پایه دارد. پلارون و بای پلارون غالباً حاملین بار در پلیمرهای هادی هستند. مکانیسم هدایت در پلی پیروول به دلیل اصرار بر ساختار نامنظم پلیمر به طور یقین ارائه نشده است. هدایت در این سیستم شامل انتقال بار در طول زنجیر پلیمری توسط حاملین بار (حفره ها، بای پلارون و ...) می باشد. پلیمرهای هادی الکتریکی نیمه هادیهایی هستند که والانس باند آنها پر شده و یک باند هدایت خالی دارند. این باندها بوسیله گپ ارزی از هم جدا شده اند.

دویینگ این پلیمرها یک سری باندهای جدید در گپ ارزی ایجاد می کند و در نتیجه حرکت الکترون ها به این باندها افزایش می یابد. در فرم کاهیده یا به عبارتی آندوب، پلیمر عایق است. بای پلارون (رادیکال-دی-یون) نشان داده شده در شکل زیر نقش مهمی را در خواص الکترونیک و انتقال پلیمرهای هادی بازی می کند. بارهای مثبت که روی اسکلت پلیمر تشکیل شده، حاملین بار برای هدایت الکتریکی هستند (معمولآً پلارون).

شکل ۳-۱ ساختارهای پیشنهادی برای پلارون و بای پلارون را نشان می دهد.

انتقال از طریق تحرک در طول قطعات کانجوله زنجیر پلیمر و رقص بار از زنجیر به زنجیر رخ می دهد. تعدادی از این بارها در ماده باقی می مانند و تحرک نسبی آنها هدایت الکتریکی بالک را کنترل می کند. بنابراین این پلیمرها هادیهای الکترونیکی هستند و نه هادی یونی ، هدایت الکتریکی پلی پیروول توسط دو فاکتور مهم تولید می شود ، تعداد حاملین بار (الکترون یا حفره) و تحرک حامل بار ، هدایت با کاهش دما کاهش می یابد درست

شیبه نیمه هادیها در مقابل هدایت فلزات نوعی مثل نقره با کاهش دما افزایش می یابد. هدایت الکتریکی فیلم های پلی پیرول شدیدا تحت تاثیر شرایط تهیه مثل نوع، غلظت الکتروولیت یا یون متقابل، میزان دوینگ، دانسیته جریان، دمای ستر و حلال می باشد.^[۵] این نشان می دهد که فیلم های پلی پیرول خیلی هادی با هدایت الکتریکی بالاتر از 500 S/Cn با روش الکتروشیمیایی با انتخاب شرایط پلیمریزاسیون مناسب تهیه می شوند. برای مثال استفاده از تکنیک پالس پتانسیل در رشد فیلم های پلی پیرول منجر به افزایش در هدایت الکتریکی، آنیزوتروپی مولکولی و یکنواختی سطح می شود در مقایسه با فیلم های یکسانی که بوسیله روش

پتانسیل ثابت ستر شده اند. هدایت الکتریکی فیلم های پلی پیرول ستر شده همچنین تحت تأثیر دمای ستر هستند. پلی پیرول ستر شده در دمای پاییتر، طول کانجوله بلندتر، ساختار منظم تر، نقص های ساختاری کمتر و هدایت بالاتری را ارائه می دهد. جزئیات تحقیقات پلیمرهای هادی نشان می دهد که تعداد زیادی از خواص فیزیکی و شیمیایی بوسیله ساختار میکروسکوبی تحت تأثیر قرار می گیرند. همچنین در یک سری از کارها گزارش شده است که افزایش دانسیته جریان باعث می شود که سطح پلیمر غیر یکنواخت شود و مقدار ضخامت فیلم به درستی تعیین نشود. در دانسیته جریان بالا هدایت کاهش می یابد علت کاهش هدایت، واکنش نوکلوفیلیایی مانند H_2O و OH با اسکلت پلیمر می باشد. این مسئله باعث قطع شدن ساختار کانجوله و پایین آوردن هدایت ذاتی پلیمر می شود.

اخیراً دریافته اند که هدایت الکتریکی و خواص مکانیکی به وسیله ساختار مولکولی دوینگ و مقدار دوینگ قویاً تحت تأثیر قرار می گیرد.

بنابراین فیلم پلی پیرول ذوب شده ای که استحکام مکانیکی و هدایت بالایی دارد، بعد از آندوب شدن کاهش قابل توجهی در استحکام و هدایت آن بوجود می آید. همچنین فیلمهای پلی پیرول اگر در معرض محلول اسیدی (مانند سولفوریک اسید) و یا محلول قلیای مانند (هیدروکسیدسیدیم) قرار بگیرند فیلم چروک و تا حدی شکننده و ضعیف می شود [۶ و ۷].

بررسی های SEM، پلی پیرول نشان می دهد که مورفولوژی سطح PPy یا اسید یا باز تغییر می کند.

۱-۵- کامپوزیت ها و چند لایه ها :

علاوه بر الکترود های اصلاح شده ای که در موارد بالا ذکر شد و عموما شامل یک سوسترای رسانا و یک فیلم تک لایه ای از مواد اصلاح کننده می باشند، ساختار های پیچیده نری نیز وجود دارند. به طور مثال ساختار

هایی شامل فیلم های چند لایه ای از پلیمر های مختلف (ساختار دولایه ای)، فیلم های فلزی بر روی لایه ی پلیمری (ساختارهای ساندویچی)، فیلم های مخلوط از رسانای یونی و رسانای الکترونی و لایه های پلیمری با فلزات متخلخل را می توان نام برد. این گونه از الکتروود ها خواص الکتروشیمیایی متفاوتی را نسبت به الکتروود های اصلاح شدهی ساده تر نشان می دهند و کاربرد های مفیدی در مبدل ها، تقویت کننده ها و حسگر ها دارند.

۱-۶- نانوکامپوزیت های فلز / پلیمر هادی:

کامپوزیت های نانو سایز فلز و پلیمر هادی به دو دسته تقسیم می شوند:

۱. نانو ذرات هسته فلزی، که نانو ساختار شامل هسته فلزی با یک پوسته از پلیمر هادی می باشد. این کامپوزیت بوسیله پلیمریزاسیون شیمیایی یا الکتروشیمیایی تهیه می شود و یک لایه نازک از پلیمر هادی روی ذرات فلزی کلوئیدی نشانده می شود [۸].

۲. نانو ذرات فلزی که درون یک ماتریکس پلیمری جاسازی شده اند. این کامپوزیت ها می توانند به آسانی بوسیله احیاء شیمیایی یونهای فلزی از محلول نمک شان در ایتر فاز محلول پلیمر هادی بدست آیند.

تعداد از پلیمرهای هادی، وقتی در فرم احیا (کاهید) خودشان هستند، به اندازه کافی قدرت کاهندگی بالا با برخی از یونهای فلزی را دارند. بنابراین، برخی یونهای فلزی که پتانسیل ریدوکس میلی مثبت دارند مانند طلا، نقره، پلاتین و مس می توانند روی یک لایه از پلیمر هادی کاهیده شوند و بدین ترتیب کلاسترها تشکیل می شوند و یا اینکه ذرات کوچک درون لایه پلیمر هادی متخلخل تشکیل می شوند. به علت سطح بالای ذرات، این کامپوزیت ها، اغلب در سیستم های الکتروکاتالیتیک متفاوت برای تبدیل الکتروشیمیایی گونه های محلول مورد استفاده قرار می گیرند. [۹]

نانوکامپوزیت های طلا-پلی پیروول با قطر کمتر از ۸ نانومتر بصورت الکتروشیمیایی بوسیله اتو پلیمریزاسیون پیروول روی نانو ذرات طلا تهیه شده است. [۱۰]. نانوذرات هسته/ پوسته، نقره/ پلی فنیل پیروول بوسیله یک روش ترکیبی الکتروشیمیایی/ شیمیایی در ایتر فاز مایع/ مایع تهیه شده است. فیلم های کامپوزیت حاصله هدایت خوبی دارند و فعالیت الکتروشیمیایی فیلم حاصله مرتبط با هر دو ذره (پلی پیروول و فلز) می باشد. [۱۱]

در یک تحقیق برای تهیه نانو کامپوزیت پلاتین و پایی پیزول، آئینهای PtCl_4 که درون فیلم پلی پیروول دو طی تهیه الکتروشیمایی به دام افتاده اند، بعد از تغیی ر محلول، کاهیده و خواهند شد و در نتیجه ذرات فلز پلاتین با متوسط اندازه ۱۰ نانومتر، درون ماتریکس پلیمری قرار خواهد گرفت.

فیلم کامپوزیت حاصله یک تأثیر الکتروکاتالیتیک روی اکسیداسیون الکتروشیمایی متانول نشان داد است. [۱۲] همچنین پلی پیروول روی سطح طلایی که توسط نانوذرات طلا پوشیده شده هم ستر شده و یک کمپلکس ایجاد کرده است. با بررسی تست ها متوجه شده اند که خواص این پلی پیروول با پلی پیروولی که روی سطح صاف طلا ستر شده است متفاوت می باشد. به عنوان مثال اثر پراکندگی رامان سطح تشدید شده، هدایت الکتریکی افزایش یافته و میزا اکسیداسیون پلیمر هم افزایش می یابد. [۱۳]

۷-۱- نانو کامپوزیت های کربن / پلیمرهایی :

اعلب کارهای انجام شده روی کامپویت های کربن / پلیمرهایی مربوط به نانولوله های کربنی یا نانوفیبرهای پوشیده شده با لایه های نانو سایز پلیمر هادی، به منظور مطالعه کاربردهای گوناگون مواد کامپوزیتی جدید می باشد. [۱۴]

بوسیله پلیمریزاسیون الکتروشیمایی، نانو لوله های کربنی با لایه های از پلی پیروول پوشیده شده اند و مشخص شده که پلی پیروول به صورت یکنواخت روی نانو لوله های انفرادی را پوشانده است. ضخامت پوشش پلی پیروول روی نانولوله های کربنی می توان به آسانی بوسیله شرایط الکترو پلیمریزاسیون کنترل شود [۱۵ و ۱۶]. شاید مهمترین دلیل نانو کامپوزیت های کربن / پلیمر هادی، پتانسیل آنها برای استفاده در سیستم های ذخیره انرژی (باتری) و سوپرخازنهای باشد. برای کاربرد سوپرخازنهای پلی پیروول بصورت یک فیلم نازک هموزن با ضخامت ۵ نانومتر روی نانو لوله های کربنی چند لایه، الکتروپلیمریزه شده و مواد کامپوزیت حاصل ظرفیت ویژه بالایی حدود 163 Fg^{-1} در مقایسه با 50 Fg^{-1} برای نانو لوله های کربنی بدون پلیمر را نشان داده اند. [۱۷]

۸- نانو کامپوزیت هایی با مواد معدنی :

برای این گروه مواد کامپوزیتی، بیشتر گزارشات در مورد کامپوزیت های پلیمر هادی و اکسیدهای فلزی بوده است. در میان اکسیدهای فلزی هم بیشتر کامپوزیت هایی از V_2O_5 و TiO_2 و Fe_2O_3 مورد بررسی قرار گرفته اند. کامپوزیت های پلیمر هادی / V_2O_5 بیشتر به عنوان مواد کاتدی برای استفاده در باتریهای یون

لیتیم قابل شارژ به کار برده شده اند . کامپوزیت پلی پیروول V2O5 ظرفیت ویژه بالایی حدود ۱۰.۶-۱۱۵Ah/kg را نسبت به پلی پیروول خالص نشان می دهد . و در نهایت از کامپوزیت پلی پیروول / Fe2O3 هم برای محافظت در مقابل خوردگی استفاده شده است [۱۸ و ۱۹]

۱-۹- حسگرهای زیستی^۲ :

حسگر زیستی به نظر برخی محققان یک وسیله آنالیزی جامع است که به صورت انتخابی و برگشت‌پذیر به عمل نمودن گونه‌های شیمیایی موجود در نمونه‌های زیستی پاسخ می‌دهد، لذا هر حسگری که به صورت فیزیکی یا شیمیایی در نمونه‌های زیستی عمل کند، می‌تواند یک حسگر زیستی در نظر گرفته شود. این تعریف بسیار گسترده است و می‌تواند برای مثال شامل میکروالکترودهای القاء شده در بافت‌های (مغز) حیوانات نیز باشد. از طرفی حسگرهای زیستی به صورت وسیله‌ای که شامل یک عنصر حسگر باپولوژی و یک ترانسفورماتور است، نیز تعریف می‌شوند [۲۰]

۱-۱۰- اکسیدهای فلزی :

اکسیدهای فلزی از دیرباز در الکتروشیمی مورد توجه بوده و کاربردهای وسیعی داشته‌اند.

به عنوان مثال دی‌اکسید منگنز به عنوان کاتد در باتری‌ها و دی‌اکسید سرب به عنوان آند در واکنش‌های الکتروشیمیایی آلی به کار رفته‌اند

وقتی اکسیدهای فلزی در تماس با محلول‌های آبی قرار می‌گیرند، آنچه که در سطح آنها اتفاق می‌افتد، تفاوت چندانی با آنچه که هنگام جذب آب از فاز گاز در سطح اکسید صورت می‌گیرد، ندارد. در این حالت سطح به وسیله گروه‌های هیدروکسید پوشیده می‌شود [۲۱].

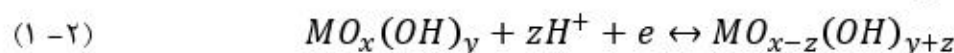
لایه اول مولکول‌های آب جذب شده در سطح اکسید، باعث تشکیل ساختار جدید از طریق پیوندهای هیدروژنی و یا ایجاد تغییر در ساختار مولکولی آب مجاور می‌شود. این ساختارهای به وجود آمده، کمایش به درون محلول انتشار پیدا می‌کنند، که میزان آن به خواص اولین لایه مولکولی آب جذب شده بستگی دارد.

در شکل (۱-۴) فصل مشترک اکسید/ محلول نشان داده شده است، که در آن گروه‌های هیدروکسید یونیزه شده و غیر یونیزه نمایش داده شده است. اگر پتانسیل الکتریکی یک اکسید (که به صورت یک الکترود طراحی شده است) از طریق مدار خارجی در محدوده پتانسیل پایداری حلال (پنجره پتانسیل ولتاوموگرام)، تغییر داده شود، بسته به نوع اکسید، امکان تغییر حالت اکسایش آن وجود دارد. این بدین معنا می‌باشد که اگر اکسید حاوی یون

^۲. Biosensors

فلزی با اعداد اکسایش مختلف باشد، در اثر اعمال پتانسیل، این عدد اکسایش در طی یک فرآیند اکسایشی - کاهشی (ردوکس^۳) تغییر می‌کند. حال اگر اعمال پتانسیل به صورت برنامه‌ای مشخص باشد و به طور نمونه یک ولتاومگرام چرخه‌ای رسم شود، آن ولتاومگرام به عنوان طیف الکتروشیمیایی آن اکسید شناخته خواهد شد. نمونه‌ای از این طیف‌های الکتروشیمیایی RuO_x و Co_xO [۹۴-۱] در شکل (۵-۱) آمده است.

فرآیندهای الکتروشیمیایی که در چنین طیف‌های الکتروشیمیایی صورت می‌گیرد، شامل واکنش ردوکس در سایت‌های فعال اکسید در سطح آن به همراه تبادل پروتون با محلول است:



پس بار سطحی به دست آمده از چنین طیف‌های متناسب با تعداد سایت‌های فعال سطح و بنابراین متناسب با سطح حقیقی اکسید خواهد بود. برای تهیه اکسیدهای فلزی جهت اصلاح سطح الکترود، می‌توان روش ستر الکتروشیمیایی اکسیدهارا بکار برد، همچنین روش‌های مختلفی نظیر سل ژل، هم رسوی، جذب، وجود دارد که تفاوت ستر الکتروشیمیایی اکسیدها و روش‌های دیگر در موارد زیر است [۲۲]:

۱-۱-۱-آماده مازی الکترود گرافیت اصلاح شده با فیلم پلی پیروول:

در روش ستر الکتروشیمیایی پلی پیروول، پیروول و یک نمک الکترولیت در یک حلال مناسب حل می‌شوند و سیس محلول تحت اکسیداسیون قرار می‌گیرد که نتیجه آن رشد فیلم رسانای پلی پیروول روی الکترود کارگر می‌باشد. در شکل ۱ ولتاومگرام چرخه‌ای الکترو پلیمریزاسیون پلی پیروول با روش ولتاومتری چرخه‌ای نشان داده شده است (در طی ۲۰ سیکل متوالی)

فیلم پلی پیروول رفتار الکتروکاتیو خوبی از خود نشان می‌دهد. این رفتار پلی پیروول به خاطر واکنش‌های پلیمری ردوکس ویژه است که در نتیجه آن تغییر در خواص الکتریکی فیلم از یک عایق به یک هادی الکتریکی ایجاد می‌شود، این تغییرات شامل انتقال الکترونی و انتقال یونی در فیلم می‌باشد.

در نتیجه اکسیداسیون پیروول، یک فیلم پلیمری شارژ شده با آنیون‌های شرکت کننده خواهیم داشت. در طول احیا، ختایی بار می‌تواند به وسیله اخراج آنیون‌ها یا کاتیون‌ها یا کاتیون‌های شرکت کننده حفظ شود. واحدهای پیروول که بار مثبت دارند با آنیون‌ها موازن می‌شوند.

^{۱۱}. Redox

۱۲-۱-ستز پالسی فیلم پلی پیروول:

۱۲-۱-تکنیک نرمال پالس ولتاوری (NPV)

در این روش تحقیق به منظور ستز نانو الیاف پلی پیروول عمدتاً از تکنیک نرمال پالس ولتاوری استفاده شده است. در این تکنیک، علاوه بر یک پتانسیل یکطرفه، DC، پتانسیل هایی به صورت پالس با دامنه زمانی دلخواه، اعمال می سازند که مقدار این پالس ها، متناسب با زمان (بین صفر تا یک ولت) تغییر داده می شود. به عبارت دیگر ارتفاع پالس، در نوبت های متوالی، تغییر می کند. مقدار جریانی که از سل می گذرد، دارای سه منشاء متفاوت خواهد بود. در روش پالسی برای ستز فیلم محدوده پتانسیل -0.8 با پهنهای پالس 0.5 ثانیه و دامنه ای افزایش پتانسیل $4mV$ استفاده شده است. نتایج عکس میکروسکوپ الکترونی در شکل ۳ نشان دهنده تولید نانو الیاف پلی پیروول بر سطح الکترود گرافیت است.

شکل (۷) ولتاومگرام های چرخه ای الکترود **G/PPy** را در محلول بافر اگرالات در حضور غلظت های مختلف آسکوربیک اسید (mM) در سرعت رویش پتانسیل $10mVS^{-1}$ را نشان می دهد.

شکل (۹ج)، نمودار جریان نرمالیزه شده به سرعت رویش $(I/V^{1/2})$ نسبت به سرعت رویش پتانسیل را نشان می دهد. مطابق این نمودار، در سرعت های بالاتر، جریان نرمالیزه مستقل از سرعت رویش است. برای واکنش کاملاً برگشت ناپذیر کنترل شده با نفوذ، طبق معادله (۱-۴) و با استفاده از واستگی پتانسیل پیک آندی به لگاریتم طبیعی سرعت رویش پتانسیل در شکل (۹ب)، مقدار ضریب انتقال بار واکنش الکتروواکسیداسیون آسکوربیک اسید بر روی الکترود **G/PPy**، 0.72 به دست آمده است.

$$(1-4) \quad I_P = 2.99 \times 10^5 n^{3/2} \Delta^{1/2} CD^{1/2}$$

با به کار بردن روش کورنوامپرومتری و با قراردادن پتانسیل های الکترود کار در پتانسیل اکسیداسیون آسکوربیک اسید، ضریب نفوذ و ثابت سرعت کاتالیستی آن، حاصل می شود.

نتیجه گیری :

۱- ستز پلی پیروول در حضور الکتروولیت های مختلف NO_3^- ، ClO_4^- و Cl^- انجام گرفت.

۲- ستز در حضور SDS و CNT نشان دهنده فعالیت بیشتر فیلم پلیمری شد.

۳- سنتز به روش پالسی باعث ایجاد نانو الیاف پلیمر شده و رفتار خوبی نسبت به الکترواکسایش آمکوربیک اسید دارد.

۴- با توجه به افزایش غلظت و سرعت های رویش تعداد

$$\text{ضریب دیفیوژن} : 6.8 \times 10^{-5} \text{ cm}^2 \text{s}^{-1}$$

$$363 \times 10^{-1} \text{ cm}^3 \text{mol}^{-1} \text{s}^{-1} : \text{K}$$

$$274 \pm 0.24 \times 10^{-2} \text{ M} : \text{LOD}$$

مراجع:

- [۱]- Machida S and Miyata S, Synthetic Metals 31, 311-318(1989)
- [۲]- Warren L F and Anderson DP , Electrochemical Society 134(1), 101-105(1987)
- [۳]- Bocchi V,Gardini G P,J.Chem.Soc.Che.commun. 148-156(1986).
- [۴]- Cheung K M, Bloor D and Stevens G C, Polymer 29, 1709-1711(1988).
- [۵]- Ko J M , Rhee H W, Park S M and , Kim C Y, J.Electrochemical Soc. 3, 137-144(1990)
- [۶]- Munstedt H, Polymer 27, 899-905(1986)
- [۷]- Pei Q and Qian R, Synthetic Metals 45, 35-48(1991)
- [۸]- malinauskas a , polymer 42 3957(2001).
- [۹]- malinauskas a , synth.met. 107 75(1999).
- [۱۰]- liu y c and chuang t c .j.phys.chem. 107 12383(2003).
- [۱۱]- johans c .clohessy j ,fantini s.kontturi k and cunnane v j electrochem.commun.4 227(2002).
- [۱۲]- hepel m , j.electrochem.soc. 145 124(1998).
- [۱۳]- liu y c and liang y s , electroanalysis 15 200(2003).
- [۱۴]- chen g z,shaffer m s p , coleby d , Dixon g,zhou w z,fray d j and windle a h adv,mater. 12

522(2000).

[¹⁰]- chen j h , huang z p ,wang d z, yang s x, wen j g and ren z r appl.phys.a 73 129(2001).

[¹¹]- chen j h , huang z p ,wang d z, yang s x, li w z, wen j g and ren z f synth.met.125 289(2001).

[¹²]- frackowiak e and beguin f. carbon 39 937(2001).

[¹³]- zhang p , yang ZH Wang d j .kan s h, chai x d, liu j z and li t j synth.met.84 165(1997).

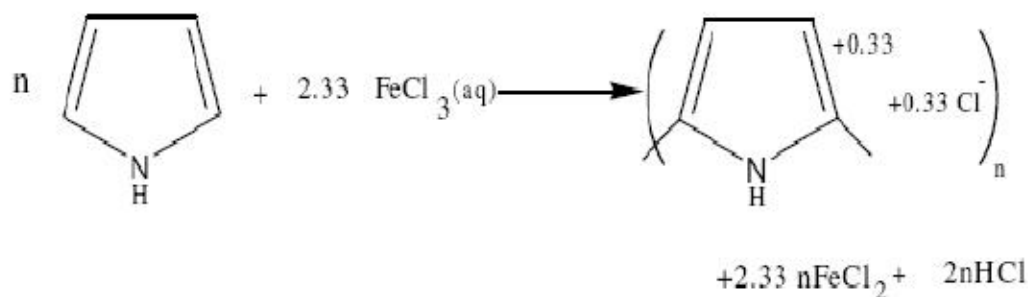
[¹⁴]- kwon c w ,poquet a.mornet s, campet g, portier j and choy j h electrochem commun.

4 197(2002).

[¹⁵]- gareia b, lamzoudi a.pillier f le h n t and delouis c j.electrochem.soc.149 b560(2002).

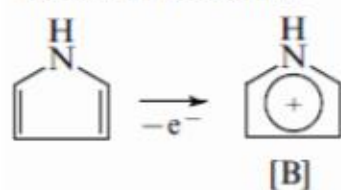
[¹⁶] L. J. Blum, P. R. Coulet, Biosensor Principles and Applications, Marcel Dekker, New York, 1991, p.10

[¹⁷] T. Kissinger, W. R. Hineman, Laboratory Techniques in Electroanalytical Chemistry, Marcel Dekker, (1996).

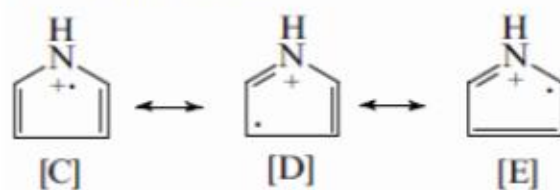


شكل ١ بليمريزاسيون شبكياس بلى بروول

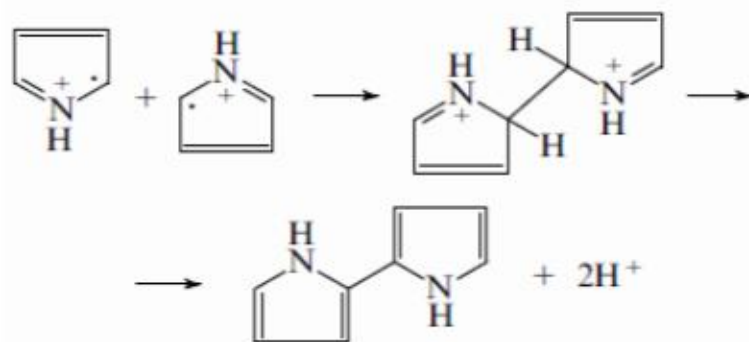
Monomer oxidation



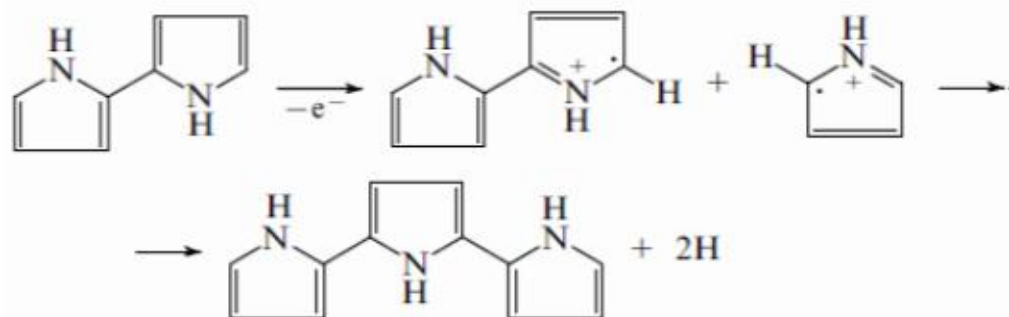
Resonance forms



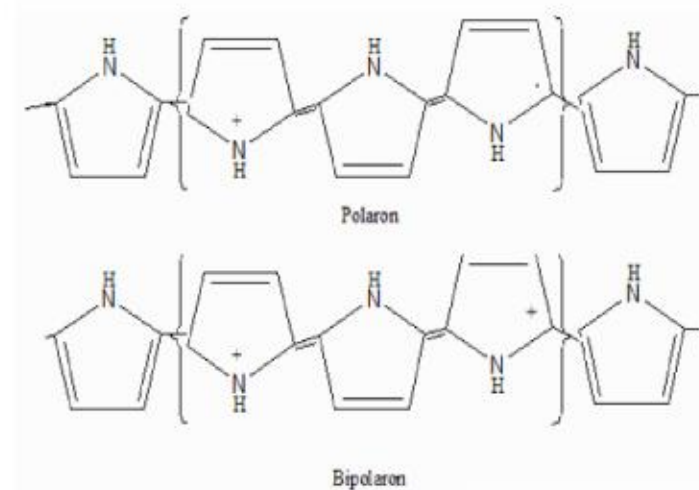
Coupling (dimerisation of cation-radicals)



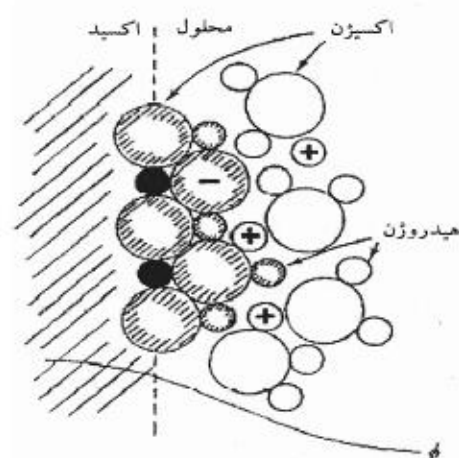
Chain growth



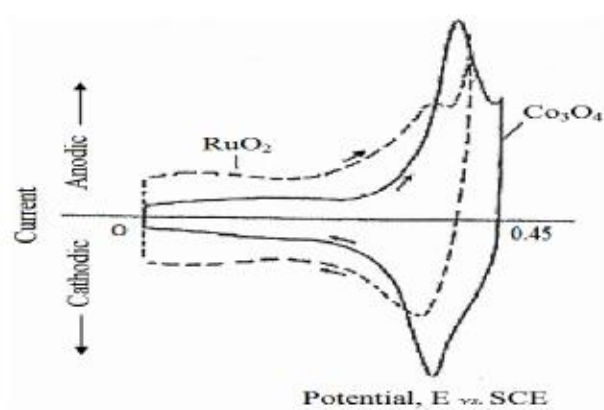
شكل ۱ ۲ الكتروپلسيرياسيون پلي بيرول



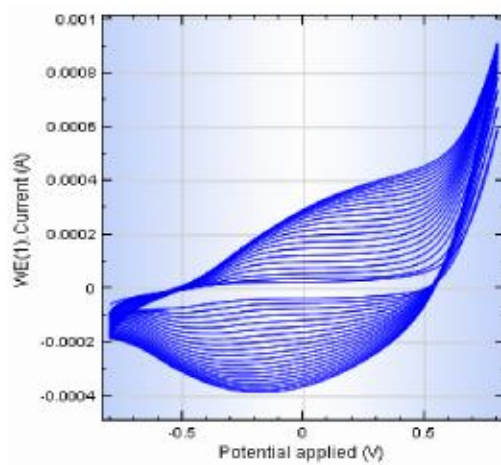
شکل ۱ ۳ ساختارهای پیشنهادی پالارون و بای پالارون



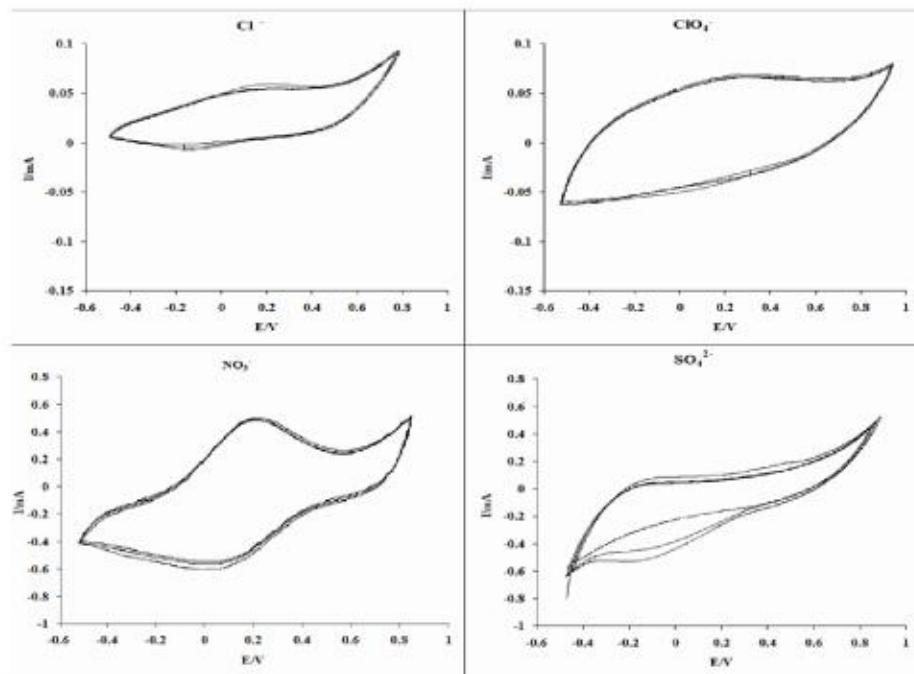
شکل ۱ ۴ شماتی از نصل مشترک اکسید/ محلول



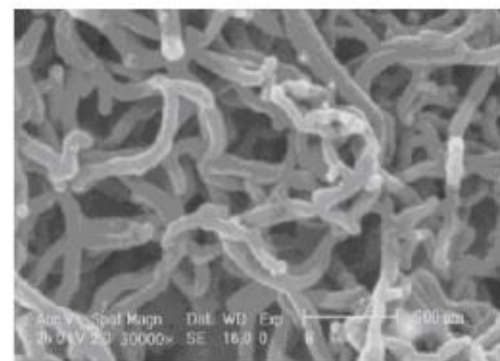
شکل (۱۵). ولتاگرام چرخه‌ای نوعی برای دو اکسید فلزی در محیط قلیایی



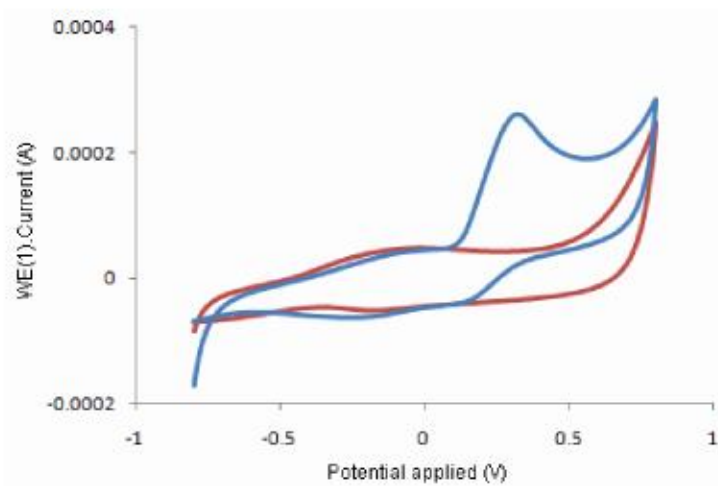
شکل ۱ ۶ ولتاوگرام چرخه ای الکترو پلمریزاسیون پلی پیروول با روش ولتاویری چرخه ای



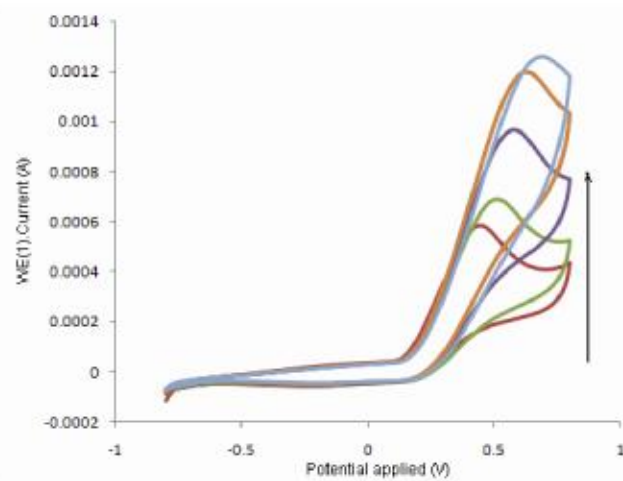
شکل ۱ ۷ ولتاوگرام فیلم پلی پیروول ستر شده در حضور الکتروولیت های مختلف



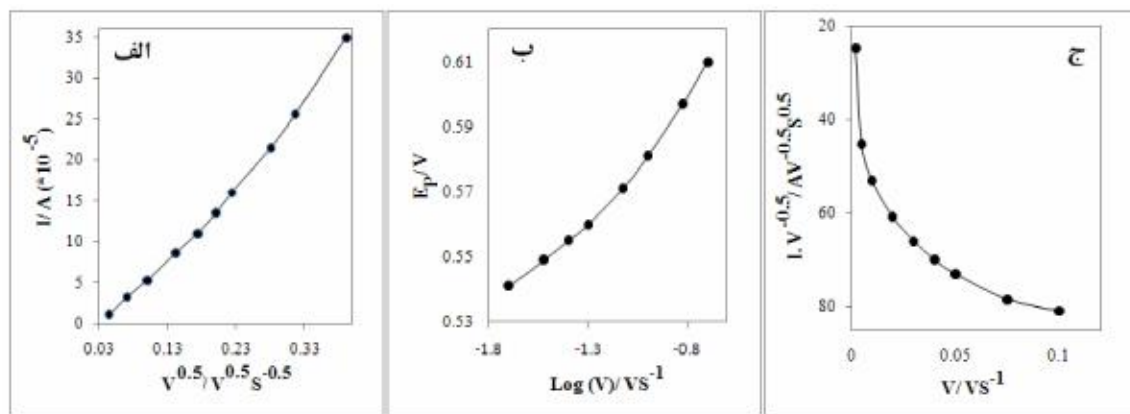
شکل ۱۸ تصویر میکروسکوب الکترونی فیلم پلی پیروول ستز شده با روش نرمال پالس ولتامتری



شکل ۱۹-۱- ولتاگرام الکترود G/PPy در حضور و عدم حضور آسکوربیک اسید با سرعت اسکن 10 mV/s در بافر اکرلات



شکل ۱۹-۲- ولتاگرام‌های چرخه‌ای الکترود G/PPy حضور غلظت‌های مختلف آسکوربیک اسید ($0.25-0.4 \text{ mM}$) و در سرعت روش پتانسیل 10 mV S^{-1}



شکل ۱۱ (الف): واستگی جریان پیک آندی به محدود سرعت حاروب پتانسیل. (ب): نمودار $(I/v^{1/2})$ بر حسب v .
 (ج): واستگی پتانسیل پیک به $\text{Log} V$ برای اکیداسیون آسکرریک اسید روی الکترود G/Ppy